

Figuras clase Circulación forzada por el viento (b)

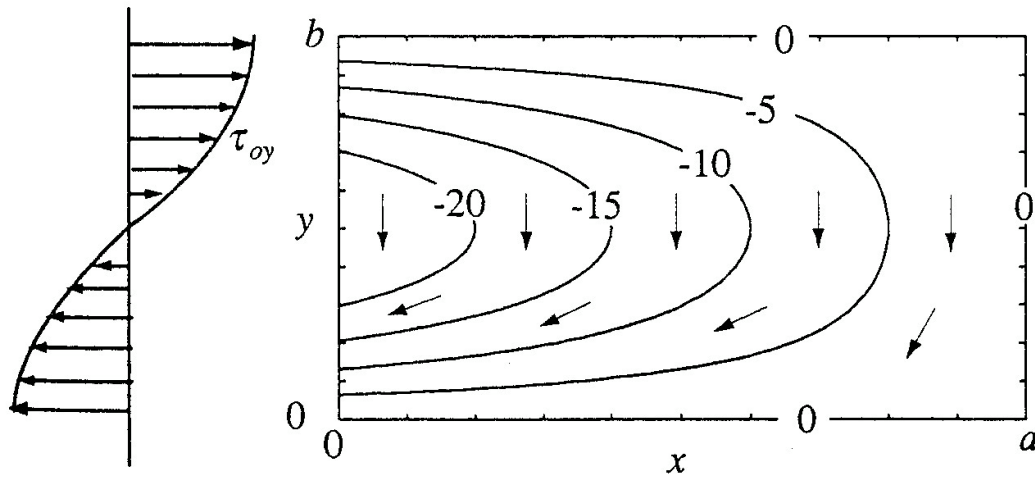


Figura 1. Solución de la ecuación de Sverdrup para una cuenca rectangular simple en el Hemisferio Norte. Los contornos son de función corriente del transporte en volumen en Sv. De Mellor (1996).

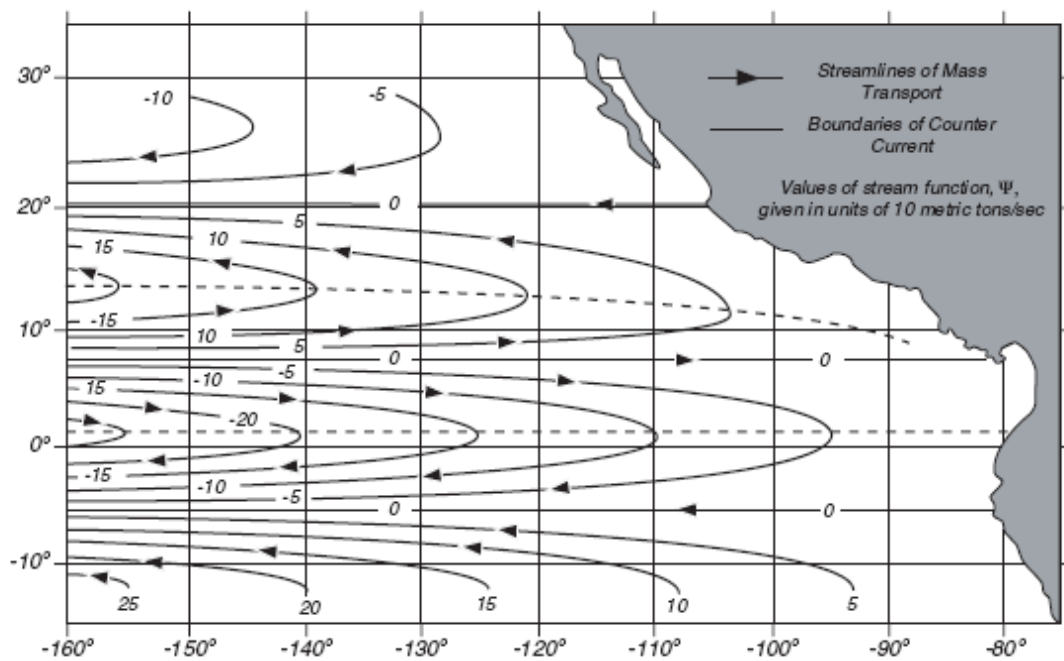


Figura 2. Función corriente del transporte de masa en el Pacífico oriental calculado según al teoría de Sverdrup utilizando vientos promedio anual. De Stewart (2003).

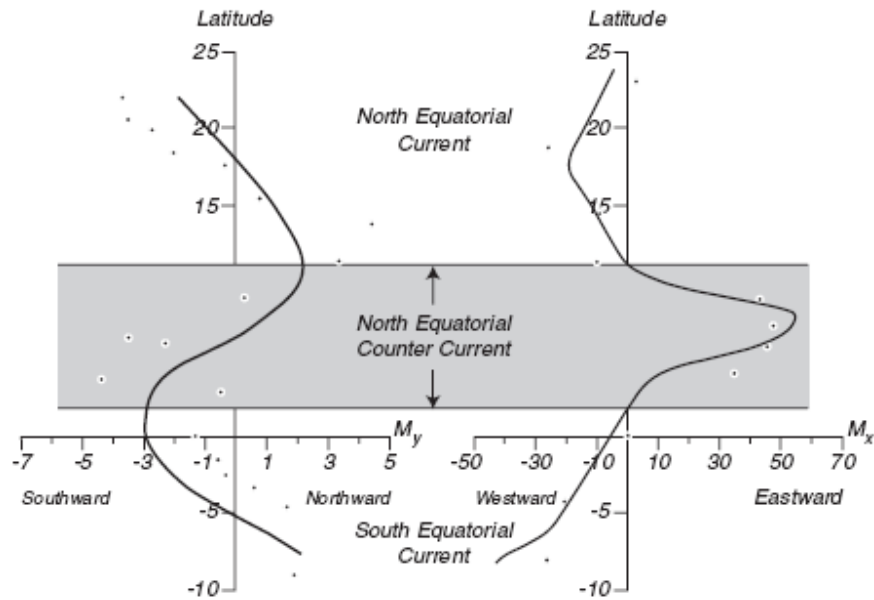


Figura 3. Transporte de masa en el este del Pacífico Tropical calculado a partir de la teoría de Sverdrup utilizando vientos observados (líneas llenas) y presión calculada de datos hidrográficos *in situ*. El transporte está expresado en toneladas por segundo a través de una sección de un metro de ancho que se extiende desde la superficie del mar y hasta una profundidad de 1 km. Nótese la diferencia de escala entre el transporte zonal y el meridional. De Stewart (2003).

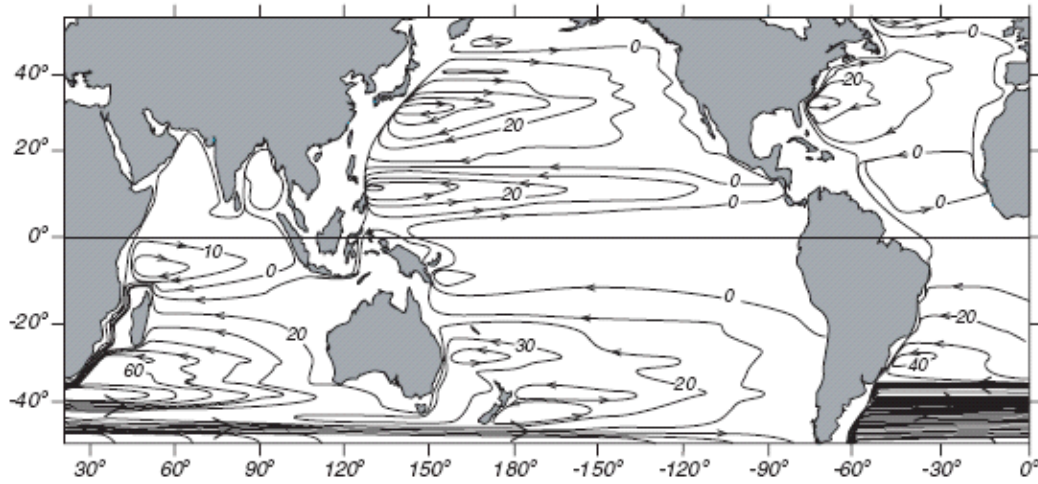


Figura 4. Transporte de Sverdrup integrado en la vertical aplicado globalmente utilizando el esfuerzo del viento de Hellerman y Rosenstein (1983). El intervalo de contorno es de 10 Sv. De Stewart (2003).

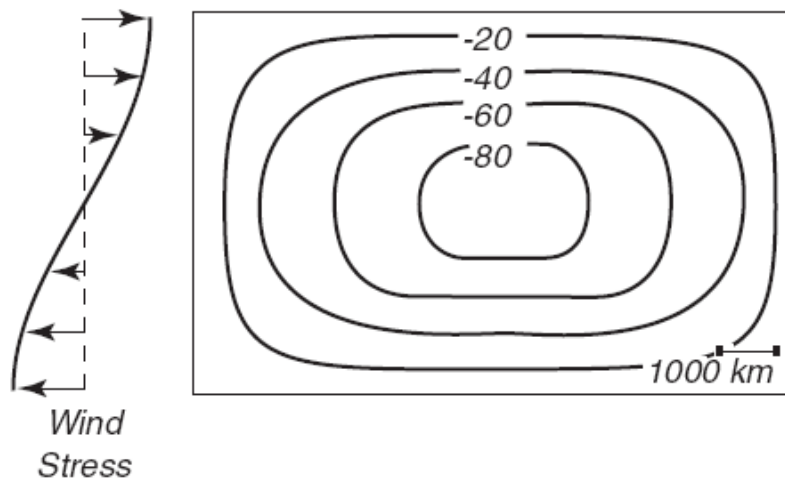


Figura 5. Función corriente del flujo calculado por Stommel para una cuenca no rotante o para una cuenca con rotación constante en el Hemisferio Norte.

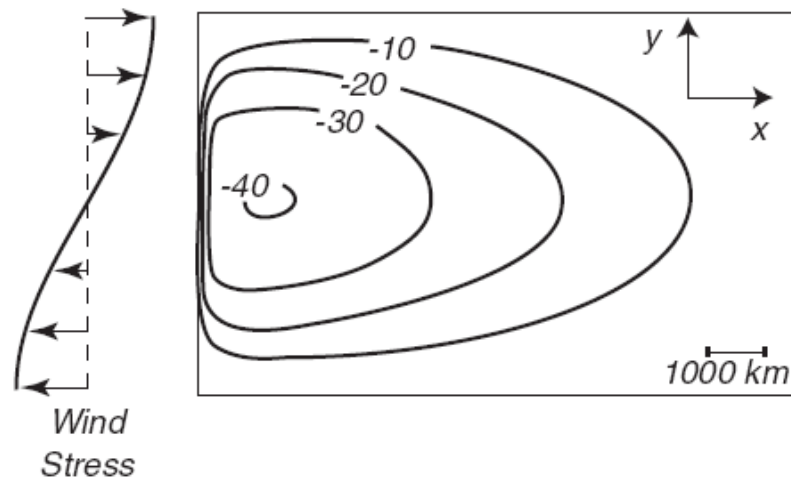


Figura 6. Función corriente del flujo calculado por Stommel para una cuenca con rotación variable (plano β) en el Hemisferio Norte.

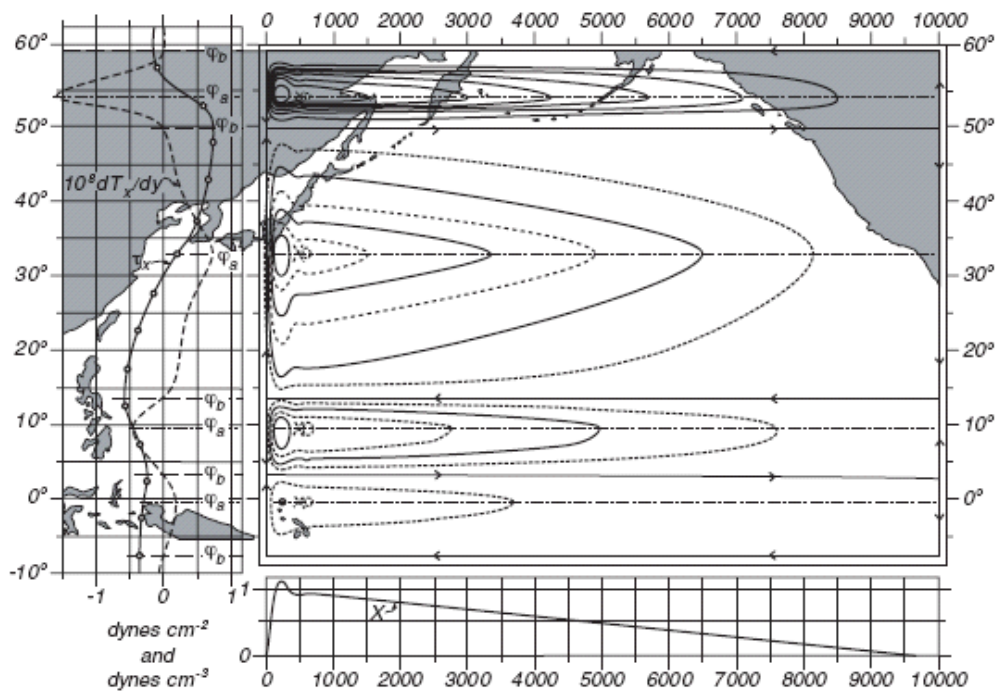


Figura 7. Izquierda: esfuerzo del viento medio anual sobre el Pacífico y rotor del esfuerzo del viento. Derecha arriba: función corriente del transporte de masa calculada utilizando el esfuerzo del viento observado. El intervalo de contorno es de 10 Sv. Derecha abajo: componente norte-sur del transporte de masa. De Stewart (2003).

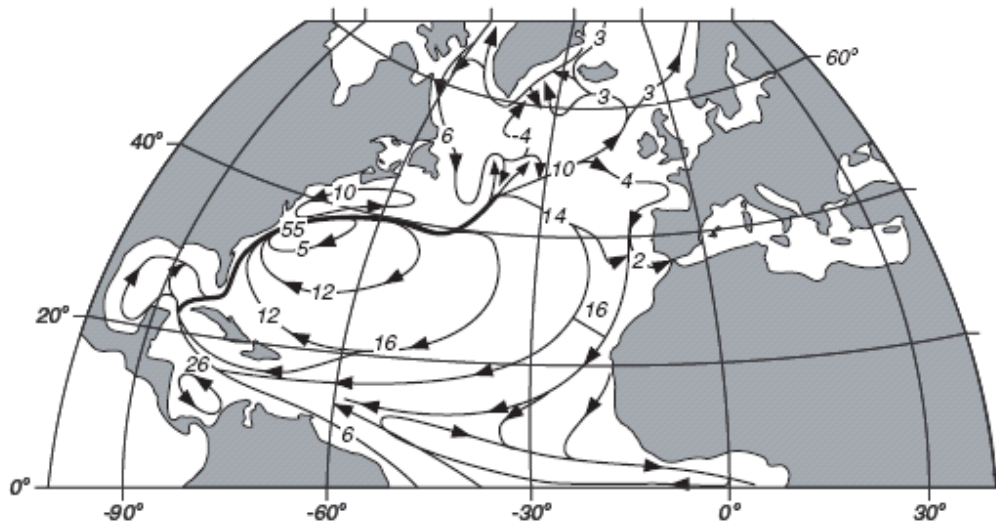


Figura 8. Esquema de las principales corrientes en el Atlántico Norte. Los valores representan transportes de volumen en Sv. De Stewart (2003).

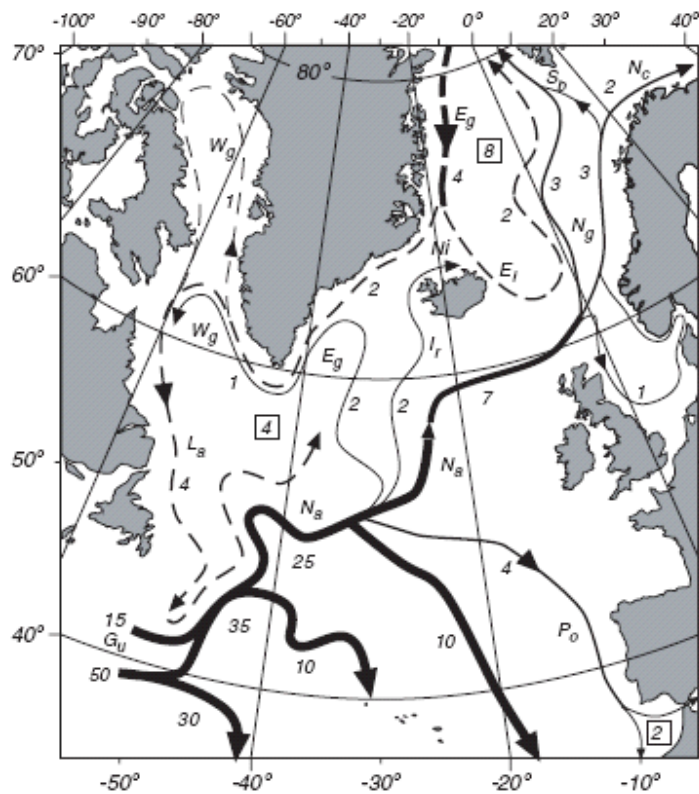


Figura 9. Esquema de las corrientes en el Atlántico Norte. Los números dan el transporte de volumen en Sv desde la superficie y hasta una profundidad de 1 km. **Eg**: Corriente del Este de Groenlandia; **Ei**: Corriente del Este de Islandia; **Gu**: Corriente del Golfo; **Ir**: Corriente de Irminger; **La**: Corriente del Labrador; **Na**: Corriente del Atlántico Norte; **Nc**: Corriente del Cabo; **Ng**: Corriente de Noruega; **Ni**: Corriente del Norte de Islandia; **Po**: Corriente de Portugal; **Wg**: Corriente del Oeste de Groenlandia. Los números dentro de un cuadrado dan la cantidad de agua que se hunde en Sv. Las líneas gruesas muestran las corrientes cálidas y las punteadas las más frías. De Stewart (2003).

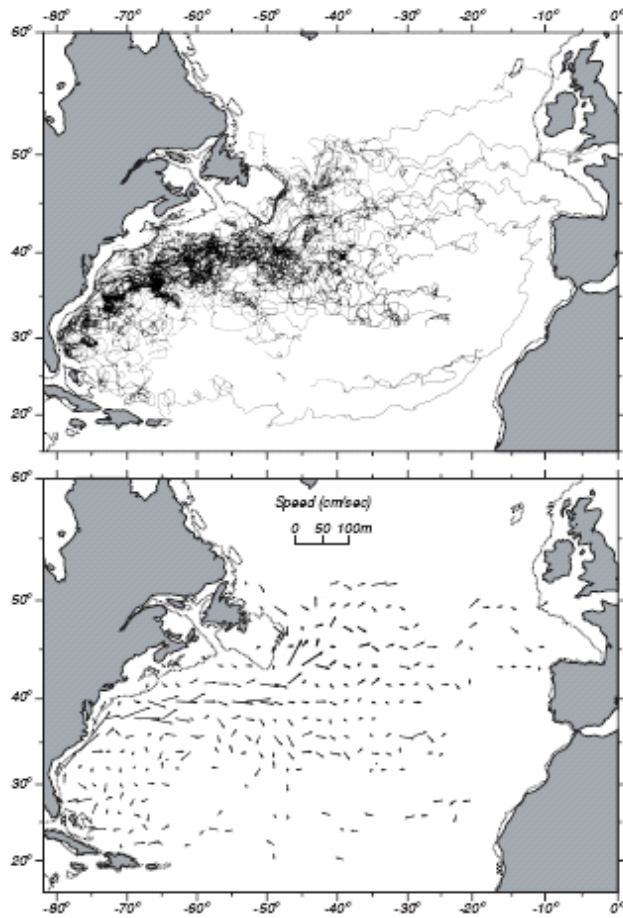


Figura 10. Arriba: trayectoria de 110 boyas lanzadas en el Atlántico Norte. Abajo: velocidad media de las corrientes en una grilla de $2^\circ \times 2^\circ$ calculadas a partir de las trayectorias. Las cajas con menos de 40 observaciones fueron omitidas. La longitud de las flechas es proporcional a la velocidad. Los máximos valores obtenidos son de aproximadamente 0.6 m/s en la Corriente del Golfo. De Stewart (2003).